

С. Х. КОГАН

## РАСПРОСТРАНЕНИЕ ВОЛН ВДОЛЬ БЕСКОНЕЧНОЙ СПИРАЛИ

(Представлено академиком М. А. Леонтовичем 7 IV 1949)

Рассмотрим распространение электромагнитных волн вдоль бесконечно длинной спирали. При этом мы не будем ограничиваться уже рассматривавшимся случаем, когда шаг много меньше радиуса спирали.

Зависимость от времени возьмем в виде  $e^{-i\omega t}$ . Расположим ось  $z_1$  цилиндрической системы координат вдоль оси спирали. Отсчет углов  $\varphi_1$  будем производить от радиуса-вектора, проведенного от оси спирали через точку пересечения оси провода с плоскостью  $z_1 = 0$ . Введем далее криволинейную координату  $L$ , отсчитываемую вдоль оси провода. Величины  $L$  и  $z_1$  связаны между собой зависимостью

$$L = z_1 / \sin \delta, \quad (1)$$

где  $\delta$  — угол подъема спирали.

Обозначим:  $r_0$  — средний радиус спирали,  $a_0$  — радиус сечения проводника,  $s$  — шаг спирали.

Уравнение оси провода в цилиндрической системе координат запишется так:

$$\varphi_1 = \frac{2\pi}{s} z_1, \quad r_1 = r_0 \quad (2)$$

Если провод достаточно тонкий, т. е. выполняются неравенства  $a_0/r_0 \ll 1$ ;  $a_0/\lambda \ll 1$ ,  $a_0/s \ll 1$ , то при расчете вектор-потенциала можно заменить поверхностное распределение тока линейным, совпадающим с осью провода. При этом вектор-потенциал в точке с координатами  $z$ ,  $\varphi$ ,  $r$  запишется так

$$\mathbf{A} = \frac{1}{c} \int_{-\infty}^{+\infty} I(L) \frac{e^{ikR}}{R} dL. \quad (3)$$

Здесь  $I(L)$  — полный ток в сечении  $L$ ;  $k = 2\pi/\lambda$  — волновое число;  $R = \sqrt{(z_1 - z)^2 + \rho^2}$ ;  $\rho = \sqrt{r_0^2 + r^2 - 2rr_0 \cos(\varphi_1 - \varphi)}$ .

Для получения основного интегрального уравнения, определяющего закон распределения тока вдоль спирали, используем граничное условие на поверхности провода, проводимость которого будем считать идеальной. В нашем случае это условие имеет вид:

$$E_L = E_z \sin \delta + E_\varphi \cos \delta = 0 \quad (\text{на поверхности провода}). \quad (4)$$

В дальнейшем будем считать достаточным выполнение этого условия не на всей поверхности провода, а только на образующей спи-

рали, представляющей геометрическое место точек касания спирали с цилиндром радиуса  $r = r_0 + a_0$ .

Не представляет труда показать, что граничное условие (4) после подстановки в него вместо электрических компонент их значений через потенциал (3) может быть записано в виде

$$\int_{-\infty}^{+\infty} I(z_1) f(|z - z_1|) dz_1 = 0 \quad (z_1 = L/\sin \delta). \quad (5)$$

Мы не выписываем выражения для ядра, так как оно нам не понадобится. Для дальнейшего важно только знать, что ядро уравнения (5) зависит лишь от модуля разности переменных  $z$  и  $z_1$ . Последнее, вообще говоря, почти очевидно.

Возможные решения уравнения типа (5) имеют вид

$$I(z_1) = Ie^{jh z_1} \quad (z_1 = L/\sin \delta). \quad (6)$$

Для определения постоянной  $h$  проще всего воспользоваться исходным уравнением (4), полностью эквивалентным уравнению (5). При этом вычисление полей по формуле

$$E = \left( \frac{j}{k} \text{grad div} + jk \right) A \quad (7)$$

значительно облегчается тем, что вид функции распределения тока нами уже определен (6).

Используя формулу (3) и разложение

$$\frac{e^{jhR}}{R} = \int_{-\infty}^{+\infty} \sum_{m=-\infty}^{+\infty} F_m(\omega) e^{jm(\varphi - \varphi_0)} e^{-j\omega(z_1 - z)} d\omega, \quad (8)$$

где

$$F_m(\omega) = \begin{cases} \frac{j}{2} J_m(r_0 \sqrt{k^2 - \omega^2}) H_m(r \sqrt{k^2 - \omega^2}) & \text{при } r > r_0, \\ \frac{j}{2} J_m(r \sqrt{k^2 - \omega^2}) H_m(r_0 \sqrt{k^2 - \omega^2}) & \text{при } r < r_0, \end{cases}$$

получим (заменяя двойные интегралы при помощи теоремы об интеграле Фурье) составляющие вектора поля

$$E_z = 2jk \frac{I_0}{c} \sum_{m=-\infty}^{+\infty} \left( 1 - \frac{hp_m}{k^2} \right) B_m e^{ip_m z + jm\varphi}, \quad (9)$$

$$E_\varphi = \frac{jI_0}{c} \sum_{m=-\infty}^{+\infty} \left[ k \text{ctg} \delta (B_{m,1} + B_{m,-1}) + 2B_m \frac{mh}{kr} \right] e^{ip_m z + jm\varphi}. \quad (10)$$

Здесь

$$B_{m,n} = \begin{cases} I_{m+n}(r_0 v_m) K_{m+n}(r v_m) & \text{при } r > r_0, \\ I_{m+n}(r v_m) K_{m+n}(r_0 v_m) & \text{при } r < r_0, \end{cases}$$

$$v_m = \sqrt{\left( h - \frac{2\pi}{s} m \right)^2 - k^2}, \quad p_m = h - \frac{2\pi}{s} m.$$

Остальные составляющие векторов поля мы не выписываем. Подставив выражения (9), (10) в (4) и учитывая, что на образующей про-

вода спирали, где мы требуем выполнения условия (4),  $r = r_0 + a_0$  и  $\varphi = (2\pi/s)z$ , получим трансцендентное уравнение

$$-\sum_{m=-\infty}^{+\infty} (B_{m,1} + B_{m,-1}) k^2 \operatorname{ctg}^2 \delta + \sum_{m=-\infty}^{+\infty} 2B_m (h^2 - k^2) + \sum_{m=-\infty}^{+\infty} 2B_m (1 - \beta) \frac{mh}{r_0} \operatorname{ctg} \delta = 0, \quad (11)$$

где  $B_{m,n} = I_{m+n}(r_0 v_m) K_{m+n}(\beta r v_m)$ ;  $\beta = 1 + a_0/r_0$ .

Последним рядом в уравнении (11) можно пренебречь ( $\beta - 1 \ll 1$ ), после чего для нахождения постоянной распространения  $h$  остаётся уравнение

$$\left( \sum_{m=-\infty}^{+\infty} B_{m,1} + B_{m,-1} \right) / \left( 2 \sum_{m=-\infty}^{\infty} B_m \right) = \operatorname{tg}^2 \delta \left( \frac{h^2}{k^2} - 1 \right). \quad (12)$$

Полученные результаты могут быть интерпретированы следующим образом. Волна тока, бегущая вдоль провода спирали с постоянной распространения  $k_n = \sin \delta h_n$  ( $h_n$  —  $n$ -й корень уравнения (12)), возбуждает в окружающем пространстве бесчисленное множество неразделимых электрических и магнитных волн с азимутальной зависимостью, распространяющихся вдоль оси спирали с постоянной распространения

$$p_{m,n} = \frac{k_n}{\sin \delta} - m \frac{2\pi}{s}. \quad (13)$$

Волна с индексом  $m = 0$  симметрична. Все остальные волны несимметричны, что обусловлено периодической структурой спирали.

Введем обозначения

$$F_1(hr_0) = \operatorname{tg}^2 \delta \left[ \left( \frac{hr_0}{kr_0} \right)^2 - 1 \right],$$

$$F_2(hr_0) = \left( \sum_{m=-\infty}^{+\infty} B_{m,1} + B_{m,-1} \right) / \left( 2 \sum_{m=-\infty}^{+\infty} B_m \right); \quad (14)$$

тогда уравнение (12) примет вид

$$F_1(hr_0) = F_2(hr_0). \quad (12')$$

Основная трудность при нахождении корней уравнения (12') заключается в суммировании рядов, входящих в  $F_2(hr_0)$ . Существенно отметить, что  $F_2(hr_0)$  всюду конечна за исключением двух значений  $hr_0$ :  $h'r_0 = \operatorname{ctg} \delta + kr_0$  и  $h''r_0 = \operatorname{ctg} \delta - kr_0$ .  $F_2(hr_0)$  вещественна лишь в определенных интервалах, определяемых условием:

$$|hr_0 + m \operatorname{ctg} \delta| > kr_0, \quad (15)$$

которое должно выполняться для любого  $m$ .

На рис. 1, *a* и *б* приведены два примерных построения графического решения уравнения (12') для вещественных корней. Как видно из рис. 1, *a*, решение дает 3 корня:  $h_1$  — появляющийся в результате пересечения кривой для  $F_1(hr_0)$  с пологой частью кривой  $F_2(hr_0)$ ,  $h_2$  и  $h_3$  — появляющиеся в результате пересечения кривой  $F_1(hr_0)$  с двумя вет-

вьями кривой  $F_2(hr_0)$ , уходящими в бесконечность. Начиная с некоторой частоты, которую мы назовем первой критической частотой спирали, может существовать только один корень  $h_3$  (рис. 2).

Значение  $k_{кр1} = \omega_{кр1}/c$  может быть вычислено по формуле, являющейся точной в предельном случае  $\alpha_0 \rightarrow 0$  и дающей хорошее приближение для тонких проводов:

$$k_{кр1} \approx \frac{\cos \delta}{(1 + \sin \delta) r_0}. \quad (16)$$

Дискретные области частот, в которых отсутствуют вещественные корни, определяются также условием (15).

При  $k > \text{ctg } \delta/2r_0$  ве-

ществленные корни отсутствуют. Частоту, соответствующую этому значению  $k = \omega/c$ , будем называть второй критической частотой спирали. В соответствии с возможным существованием 3 решений полный ток в проводе может быть записан в виде

$$I = \sum_{n=1}^3 I_n e^{jk_n L}. \quad (17)$$

Соотношение амплитуд тока должно определиться из условий возбуждения.

Для проверки правильности полученных результатов был проведен расчет конкретной спирали со следующими данными:  $2r_0 = 22,5$  см,  $s = 15$  см,  $\delta = 12^\circ$ ,  $2\alpha_0 = 1,125$  см. Результаты расчета приведены на рис. 2 в виде кривой  $\tau = f(kr_0)$ , характеризующей коэффициент замедления  $\tau = k/k_n$  волны вдоль провода в зависимости от частоты. Там же нанесены данные экспериментальных измерений (1). Совпадение расчета с экспериментальными данными вполне удовлетворительное. Значение  $k_{кр1} r_0$ , согласно измерениям, находится в промежутке между  $kr_0 = 0,705$  и  $kr_0 = 0,76$ . По расчету  $k_{кр1} r_0 = 0,74$ , а по приближенной формуле (16)  $k_{кр1} r_0 = 0,805$ . Из эксперимента видно, что при переходе через критическую частоту происходит скачок коэффициента замедления от  $\tau_1 = 1$  до  $\tau_{зкр} = 0,66$ , подтверждающий наличие вещественных корней только в дискретных областях значений  $h$ . По расчету  $\tau_{зкр} = 0,68$ .

Автор выражает благодарность за руководство и интерес, проявленный к настоящей работе, проф. Я. Н. Фельду и Л. А. Вайнштейну.

Поступило  
5 IV 1949

#### ЦИТИРОВАННАЯ ЛИТЕРАТУРА

<sup>1</sup> J. Kraus and J. Williamson, J. Appl. Phys., 19, 1, 87 (1948).

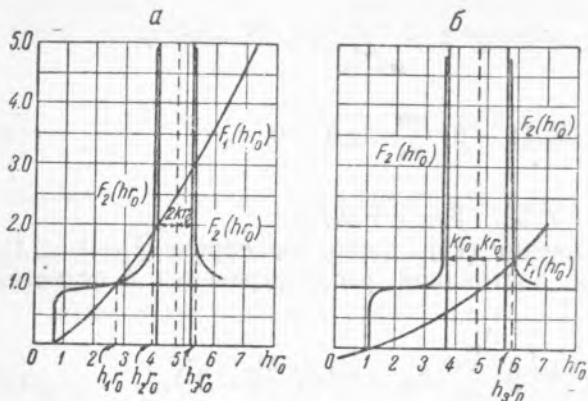


Рис. 1. Кривые функций  $F_1(hr_0)$  и  $F_2(hr_0)$ :  
а — при  $kr_0 = 0,6$ , б — при  $kr_0 = 1$

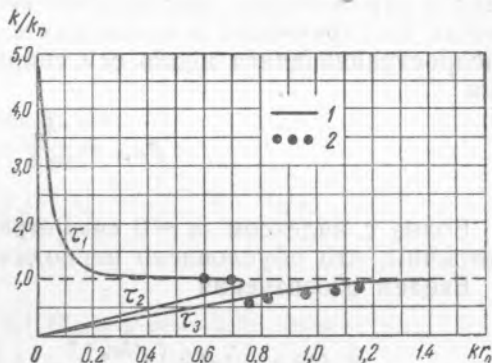


Рис. 2. Коэффициент замедления  $\tau$  в зависимости от  $kr_0$ : 1 — расчетная кривая, 2 — экспериментальные точки